

地震応答スペクトルの確率論的評価に基づく耐震設計荷重の決定法

鳥取大学工学部 正会員 高岡宣善
 鳥取大学工学部 正会員 白木 渡
 鳥取大学大学院 学生員 ○今田賢三

1. まえがき 現行の耐震設計法は、地震動を確定論的にとらえた解析に基づいており、過去に発生した地震動に対しては、構造物の安全性を保証できるが、将来発生するであろう予測不可能な地震動に対しては、その安全性を保証することができない。本研究は、地震動は、本来、その発生において不規則であり、また、その波形に再現性が認められないという2つの確率的性質を持つという認識のもとに、構造物の地震応答スペクトルの確率論的評価を行ない、さらに、構造物の耐用期間中の信頼度を考慮した耐震設計荷重の決定法について示す。

2. 地震応答スペクトルの確率論的評価 地震動は一般に、時間領域において非常に複雑に変化する非定常不規則関数の標本値と考えられる。しかし、構造物に影響を与えるのは地震動の強震部分であると考え、この部分を、エルゴード性を有する定常不規則過程でモデル化する。すなわち、地盤を2次線形フィルターでモデル化し、地動加速度の確率モデルは、2次線形フィルターによって渦波された定常白色雑音過程であると考える。そして、Fig.1に示す質量m、ばね定数k、減衰係数Cからなる1自由度構造モデルが、この地動加速度を受ける場合を考える。2次線形フィルターは、式(1)によって定義される。ここに、 ω_n 、 ω_d はフィルターの減衰定数、固有円振動数である。地震動は、2つの確率特性を有している。

$$FL: \frac{d^2}{dt^2} + 2\zeta\omega_d \frac{d}{dt} + \omega_n^2 \quad (1)$$

ため、応答も確定的なものではなく不規則な変量である。それゆえ、構造物が襲来した地震動に対して安全であるかどうかという問題を取り扱うためには、確率論の導入が必要となる。構造物が襲来した地震動に対して安全であるという確率は、構造物の応答スペクトルが与えられたレベルを超えない確率と考えられる。本研究においては、系の応答変位 $x(t)$ は、とがりが鋭い狭帯域不規則過程であることから、包絡線過程の超過の問題として解析を行なう。さて、系の固有円振動数 ω_n と減衰定数 ζ の関数である絶対擬加速度スペクトル $\hat{A}(t|\alpha_s)$ がレベル α_s を1度も超過しない確率 P_{ϕ, α_s} は、式(2)で与えられる。²⁾

$$P_{\phi, \alpha_s} = \left[1 - \exp\left(-\frac{\alpha_s^2}{2\omega_n^2 \zeta^2}\right) \right] \exp\left\{ -\frac{2\hat{A}_s \zeta T_A}{\sqrt{2\pi} \omega_n^2 \zeta^2} \exp\left(\frac{\alpha_s^2}{2\omega_n^2 \zeta^2}\right) \right\} \quad (2)$$

$$\text{ここに, } \hat{A}_s \text{ は応答 } X(t) \text{ の分散, } \alpha_s \text{ は狭帯域の中の代表的な振動数, } T_A \text{ は応答の継続時間, } S_a(\omega) \text{ は地動加速度のスペクトル密度, } \hat{A}_s = \frac{\pi S_a(\omega_0)}{2 \zeta \omega_0^3}, \quad \hat{A}_s^2 = \hat{A}_s^2 - \omega_m^2 \hat{A}_s^2 = \frac{\pi^2 \zeta^2 S_a(\omega_0)}{24 \omega_0^6} \quad (2)$$

クトル密度、 \hat{A}_s は地動加速度の分散である。

3. 耐震設計荷重の決定 前項では、襲来した地震動に対する構造物の応答スペクトルを、確率論の導入により理論づけた。しかし、本来、設計用地震荷重は、構造物の予定期間の所要の信頼度と密接に結びついているため、構造物の予定期間において、構造物が所要の信頼度を有するための設計用地震荷重を決定しなければならない。本項においては、前項で示した地震応答スペクトルの確率論的評価に基づき、耐用期間中における構造物の信頼度を考慮した耐震設計荷重の決定法について述べる。まず、当該地域のすべての地震を階級 Y_1, Y_2, \dots, Y_m に分割する。階級 Y_i の地震動がちょうど t 回発生する確率 $P(Y_i, t)$ 、 Y_i から任意に抽出した地震動に対する信頼度指標を

$$R(t|\alpha_s) = \prod_{j=1}^m \sum_{i=0}^{n_j} R^j(Y_i|\alpha_s) P(Y_i, t) \quad (3)$$

$R(Y_i|\alpha_s)$ とすると、信頼度関数 $R(t|\alpha_s)$ は、式(3)で与えられる。²⁾ここで、

$$R(T|\alpha_s) = \exp\{-T\lambda [1 - P_{\phi, \alpha_s}]\} \quad (4)$$

P_{ϕ, α_s} をポアソン分布で近似し $m=1$ とし、 $R(Y_i|\alpha_s)$ は式(2)の P_{ϕ, α_s} である

ることから式(3)は式(4)のようになる。ここに、 T は構造物の所要の耐用期間である。

4. 数値計算例 式(2)により数値計算を行ない、片山ら³⁾の地震応答スペクトルとの比較を行なった結果、单一波形で計算した応答スペクトルは、1種地盤では、比較的よく似た形状を示すが、2種以上の地盤では、

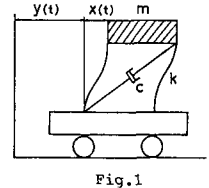


Fig.1

ほとんど似てないことがわかった。これは、表層地盤の厚さが厚くなると、種々の要因が加わり、地動加速度のスペクトル密度に複数のピークが現れてくるためだと考えられる。そこで、2種以上の地盤では、地動加速度のスペクトル密度は2つのピークを持つと仮定し、2次線形フィルターを2つ並列に並べて、汎用された白色雑音過程で地動加速度をモデル化した。この場合の地動加速度のスペクトル密度 $S_p(\omega)$ および、

$$S_p(\omega) = \sum_{k=1}^2 \frac{\pi \bar{\alpha}_k}{(\omega - \omega_k)^2 + 4\zeta_k^2 \omega_k^2} \quad (5)$$
分散 $\bar{\alpha}_k$ は、式(5)、(6)となる。ここに、 $\bar{\alpha}_k = \alpha_k S_0$

$$\zeta_k^2 = \frac{Q}{\bar{\alpha}_k} \frac{\pi}{2 \sqrt{\ln 2} \omega_k} \quad (6)$$
であり、 ω_k 、 ζ_k 、 $\bar{\alpha}_k$ は各線形フィルターの固有円振動数、減衰定数、影響係数である。数値計算に必要なパラメータは、 $\zeta_k^2 = (\bar{\alpha}_k^2)$ および、 $T_k = \frac{2\pi}{\omega_k}$ 、 ω_k 、 $\bar{\alpha}_k$ である。 $\bar{\alpha}_k$ は Rice の公式の左辺を 1 として、 $\bar{\alpha}_k$ について整理すると、式(7)のようになる。

$$\bar{\alpha}_k = \frac{\alpha_{k\max}}{\sqrt{2 \ln T_k} \pi} \quad (7)$$
ここに、 $\alpha_{k\max}$ は地動加速度の最大値、 T_k は主要動の継続時間であり、示方書の回帰式より決定した。みかけの振動数 ω_k の決定には、示方書の地盤の特性値 T_0 と表層地盤の卓越周期 T_0 とみかけの周期 T_k の間に $T_k = 0.8T_0 \approx 0.8T_0$ の関係があることから、各地盤種別の代表値 ($T_0 = 0.15, 0.4, 0.65, 0.9$) を用いた。以下、 ω_k 、 ζ_k 、 $\bar{\alpha}_k$ は、当該地域の地動加速度の観測記録の自己相関関数から求められるものであるが、ここでは、片山らの地震応答スペクトルの条件に近づけるように、また、式(7)の関係を満すように決定した。

Fig.2 に3種地盤、マグニチュード $M=6.3$ 、震央距離 $\Delta=82.9 \text{ km}$ で式(2)により計算した応答スペクトルを示す。ここに、 $T_{f1}=0.15$ 、 $T_{f2}=0.65$ 、 $\gamma_1=0.6$ 、 $\gamma_2=0.4$ 、 $\bar{\alpha}_1=900,000 \text{ rad/s}$ 、 $\bar{\alpha}_2=1410 \text{ rad/s}$ であり、 $Q=1-P_{0.05}$ である。図中の破線は、片山らの地震応答スペクトルであり、超過確率 $P=0.5$ および 0.05 について計算された値である。Fig.3 には、式(4)によって計算した構造物の耐用期間中の信頼度を考慮した耐震設計荷重の結果を示す。ここに、信頼度 $R=R(T|\bar{\alpha}_k)=0.5$ であり、 $T|\bar{\alpha}_k=0.7, 1, 5$ と増加させたとき耐用期間 T を長くするか、単位時間あたりの地震の発生回数 γ を大きくするについてそれぞれ計算した。最後に、マグニチュード、震央距離に対する各パラメータ ($\bar{\alpha}_1, \bar{\alpha}_2, T_{f1}, T_{f2}, \gamma_1, \gamma_2$) の傾向を見るために、片山らのマグニチュード、震央距離に対する範囲を分けた各範囲の中心値を用いて地震応答スペクトルを計算したときの各パラメータの値を Table 1 に示す。傾向としては、2種地盤においては、 T_{f1} 、 T_{f2} 、 γ_1 、 γ_2 はマグニチュード、震央距離に関係なく一定値で近似できることがわかる。3、4種地盤についても、多少、他と異なるものもあるが、ほぼ一定値で近似できることがわかる。

参考文献：1) Y. K. リン著、森・富田・小林・佐藤・小林英訳：構造動力学の確率論的方法、培風館、PP. 297-305, 1972. 2) V. V. ポロチン：地震荷重に対する構造物の設計計算、CMPC, NO. 1, PP. 9-14, 1980. 3) 片山恒雄・岩崎敏男・佐伯光昭：地震動加速度応答スペクトルの統計解析、土木学会論文報告集、NO. 275, PP. 29-40, 1978-7. 4) 高岡宣善：工学のための応用不規則関数論、共立出版、1975. 5) 日本道路協会：道路橋示方書・同解説V耐震設計編(昭和55年5月)，丸善、1980。

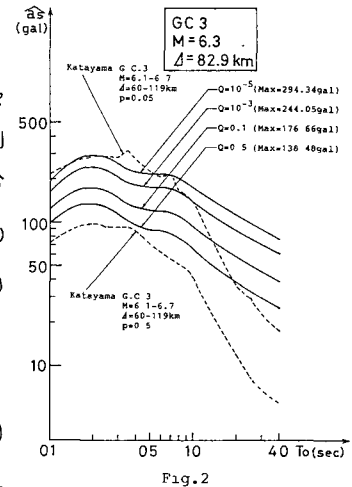


Fig.2

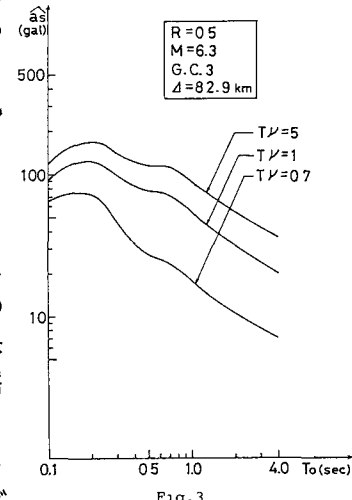


Fig.3

Table 1

Magnitude	Ground Condition	$\bar{\alpha}_1$	T_{f1}	T_{f2}	γ_1	γ_2	$\bar{\alpha}_1 \omega_k^{-2}$	$\bar{\alpha}_2 \omega_k^{-2}$
M=6.4	G.C.2	12.5	0.15	0.4	0.4	0.4	8000000	302141
		39.5	0.15	0.4	0.4	0.4	2000000	109709
	G.C.3	89.5	0.15	0.4	0.4	0.4	500000	9491
		159.5	0.15	0.4	0.4	0.4	100000	5184
	G.C.4	302.5	0.15	0.4	0.4	0.4	50000	772
		12.5	0.15	0.6	0.6	0.4	10000000	61042
M=6.5	G.C.2	39.5	0.15	0.6	0.6	0.4	10000000	11142
		89.5	0.15	0.6	0.6	0.4	10000000	323
	G.C.3	159.5	0.15	0.6	0.6	0.4	180000	7202
		302.5	0.15	0.6	0.6	0.4	80000	1182
	G.C.4	12.5	0.15	0.65	0.6	0.4	10000000	141777
		39.5	0.15	0.65	0.6	0.4	2000000	19012
M=6.6	G.C.2	89.5	0.15	0.65	0.6	0.4	4000000	21442
		159.5	0.15	0.65	0.6	0.4	4000000	22125
	G.C.3	302.5	0.15	0.65	0.6	0.4	80000	357
		12.5	0.15	0.6	0.6	0.4	2000000	174057
	G.C.4	39.5	0.15	0.6	0.6	0.4	4000000	139546
		89.5	0.15	0.6	0.6	0.4	4000000	49423
M=6.7	G.C.2	159.5	0.15	0.6	0.6	0.4	200000	22125
		302.5	0.15	0.6	0.6	0.4	80000	1229
	G.C.3	12.5	0.15	0.65	0.6	0.4	20000000	645284
		39.5	0.15	0.65	0.6	0.4	20000000	21640
	G.C.4	89.5	0.15	0.65	0.6	0.4	20000000	706
		159.5	0.15	0.65	0.6	0.4	200000	20309
M=6.8	G.C.2	302.5	0.15	0.65	0.6	0.4	80000	1229
		12.5	0.15	0.6	0.6	0.4	20000000	116289
	G.C.3	39.5	0.15	0.6	0.6	0.4	1000000	6479
		89.5	0.15	0.6	0.6	0.4	1000000	14619
	G.C.4	159.5	0.15	0.6	0.6	0.4	80000	1157
		302.5	0.15	0.6	0.6	0.4	110000	1157
M=6.9	G.C.2	12.5	0.15	0.4	0.4	0.4	3000000	2426400
		39.5	0.15	0.4	0.4	0.4	3000000	1281
	G.C.3	89.5	0.15	0.4	0.4	0.4	3000000	39541
		159.5	0.15	0.4	0.4	0.4	600000	37567
	G.C.4	302.5	0.15	0.4	0.4	0.4	800000	10332
		12.5	0.15	0.45	0.6	0.4	5000000	57605
M=7.0	G.C.2	39.5	0.15	0.45	0.6	0.4	3000000	16690
		89.5	0.15	0.45	0.6	0.4	3000000	377
	G.C.3	159.5	0.15	0.45	0.6	0.4	600000	9714
		302.5	0.15	0.45	0.6	0.4	400000	551
	G.C.4	12.5	0.15	0.5	0.6	0.4	3000000	1862420
		39.5	0.15	0.5	0.6	0.4	3000000	148712
M=7.1	G.C.2	89.5	0.15	0.5	0.6	0.4	600000	3035
		159.5	0.15	0.5	0.6	0.4	800000	19718
	G.C.3	302.5	0.15	0.5	0.6	0.4	400000	2530
		12.5	0.15	0.5	0.6	0.4	3000000	2426400
	G.C.4	39.5	0.15	0.5	0.6	0.4	3000000	1281
		89.5	0.15	0.5	0.6	0.4	3000000	39541